

مطالعه کوارتزهای گرمابی بر پایه کاتاندولومینسانس (CL)، ریزدماسنجی و لیزر رامان در کانسار لاطلا، شمال میدوک

فریبا پادیار^۱، محمد رهگشایی^۲، سعید علیرضایی^۳، الکساندر نورینتا^۴، الیوہ واندرحقی^۵ و ماری کمبل کومون^۶

^۱دانشجوی دکترا، دانشکده علوم زمین، دانشگاه شهید بهشتی، تهران، ایران

^۲استاد، دانشکده علوم زمین، دانشگاه شهید بهشتی، تهران، ایران

^۳دانشیار، دانشکده علوم زمین، دانشگاه شهید بهشتی، تهران، ایران

^۴استاد، دانشکده علوم زمین، دانشگاه شهید بهشتی، تهران، ایران

^۵دانشیار، دپارتمان زمین‌شناسی مرکز، دانشگاه لورین، نانسی، فرانسه

^۶استاد، دپارتمان زمین‌شناسی مرکز، دانشگاه تولوز، تولوز، فرانسه

^۷استاد، دپارتمان زمین‌شناسی مرکز، دانشگاه لورین، نانسی، فرانسه

تاریخ پذیرش: ۱۳۹۴/۰۶/۱۴
تاریخ دریافت: ۱۳۹۴/۰۱/۰۷

چکیده

در سنگ‌های آتش‌شانی منطقه لاطلا در شمال میدوک، کانسار رگه‌ای دارای کانی‌سازی عناصر پایه و گرانبها گسترش یافته است. در این رگه‌ها کوارتزهای خودشکل همراه با کانه‌های سولفیدی (پیریت، کالکوپیریت، گالان و استفالریت) با ساختارهای برکننده فضایی خالی وجود دارد. مطالعات کاتاندولومینسانس روی انواع کوارتزهای رگه‌ای امکان تعیین نسل‌های مختلف کوارتز را امکان‌پذیر کرد. وجود منطقه‌بندی رشدی و رورشیدی (Overgrowth) نشان از تحول چند مرحله‌ای کانی‌سازی از سیال‌های پایین دارد. بالاترین دمای همگن‌شدنگی میانبارهای سیال در مرکز بلور کوارتز ۳۵۰ درجه سانتی‌گراد و پیش از دمای همگن‌شدنگی آن در حاشیه دارای رورشیدی با دمای پایین همگن‌شدنگی ۱۳۵ درجه سانتی‌گراد است. در میانبارهای سیال در این کوارتزهای گرمابی، دامنه دمای همگن‌شدنگی از ۲۸۰ درجه سانتی‌گراد تا ۱۲۱ درجه سانتی‌گراد و شوری ۱۷٪ تا ۷۷٪ است. حضور CO_2 در شماری از نمونه‌های میانبارهای سیال هم به وسیله تعزیزه لیزر رامان و هم ریزدماسنجی تأیید شده است. شناسایی فازهای جامد در میانبارهای سیال با مطالعه سنگ‌نگاری میانبارهای سیال و تعزیزه لیزر رامان انجام و حضور فازهای جامد فیلوسیلیکات همانند مسکوویت، ایلیت و کانی‌های کوارتز، کلریت، فازهای کربناتی (داوسونیت- ناتروکربنات) و اکسید آهن تأیید شده است. تنها در دو نمونه فاز جامد هایلت بود. حضور فازهای غنی از بخار و غنی از مایع میانبارهای سیال و شواهد بافتی کانی‌ها یانگر فرایند جوشش در طی تشکیل کوارتزهای گرمابی و کانه‌سازی است. نسبت ایزوتوپی گوگرد برای کانی‌های پیریت، کالکوپیریت، گالان و استفالریت از ۹/۸-۱۹/۶٪ تا ۹/۸-۱۱/۶٪ متغیر است که نشانگر منشأ مانگابای برای گوگرد است. نسبت ایزوتوپی گوگرد در سیال گرمابی با توجه به میانگین دمای تشکیل کانسگ میان ۹/۲-۹/۶٪ است. با توجه به نتایج حاصل از مطالعات ریزدماسنجی میانبارهای سیال و مطالعات لیزر رامان به نظر من رسید سیال‌ها و بخارهای گرمابی از یک توده ژرف مانگابای در زرف از راه شکستگی‌ها نفوذ کرده و طی فرایندهای جوشش، آمیختگی دو سیال و واکنش سیال با سنگ دیواره بسب تشکیل کوارتزهای گرمابی همراه با کانه‌های سولفیدی شده است که متأثر از نفوذ توده‌های پورفری جوان نر در آتهاست. شواهد موجود نشان از روند تعییر و تحولات سیال‌های گرمابی از منشأ مانگابای با متأثر از دمای بالا به سمت اپی‌ترمال در منطقه دارد.

کلمه‌کلیدی: کوارتز گرمابی، میانبار سیال، لاطلا، کاتاندولومینسانس، ریزدماسنجی، لیزر رامان.

نویسنده مسئول: فریبا پادیار

E-mail: padyar@geologist.com

۱- پیش‌نوشتار

روندهای تغییرات سیال از مراحل مانگابای به اپی‌ترمال فرار دارند. تغییرات دمای ترکیب شبیه‌سی و میانبارهای کانی‌ای، همه یانگر و بیزگی‌های فربکی و شبیه‌سی خاص طی تشکیل بخش‌های مختلف منطقه‌بندی رشدی در کوارتز هستند. ساختارهای رشد ناقص ساختارهای تار عنکبوتی در حیثیت مربوط به تاریخچه و روند تحولات کپلکس‌های سیال‌هایی است که کوارتزهای نسل بعدی در شکستگی‌های کوارتزهای خودشکل گرمابی در مراحل بعدی رشد با تبلور دیواره پیدا می‌کند (Tome and Tornos, 2009). برای تعیین ترکیب سیال می‌توان از ترکیب بخش مایع میانبارهای سیال استفاده کرد و با تعیین درصد شوری بر پایه Tm ترکیب سیال کانی‌ساز را از دید شبیه بررسی کرد. دمای همگن‌شدنگی (Th) میانبارهای سیال در بخش‌های مختلف منطقه‌بندی یک کوارتز می‌تواند معروف دمای آن سیال در هنگام تشکیل آن بخش از کانی باشد. می‌توان از لیزر رامان، افزون بر تعیین ترکیب فاز بخار میانبار سیال، برای آگاهی از ویزگی‌های محیط از دبد EH-PH و تشخیص فازهای جامد (فاز اسیر) و کانی‌های نوزاد استفاده کرد که طی تشکیل میانبارهای سیال به دام می‌ستند. حضور فازهای جامد کانی در میانبارهای سیال مانند کوارتز، مسکرووت، کانی‌های کربناتی، کانی‌های رسی کلریت از ویزگی‌های آشکار سیال‌های گرمابی است (Coveney and Kelly, 1971; Roedder, 1992; Einali et al., 2011; Moncada and Bodnar, 2012).

هدف این پژوهش تعیین تحولات سیال‌های کانه‌ساز در کانسار لاطلا، مشخص کردن ویزگی‌های فربکی و شبیه‌سی آنها و رابطه کانی‌سازی در لاطلا با سیال‌های مانگابای ناشی از نفوذ توده‌های پورفری مرحله بعدی است. در اینجا این پژوهش از روش‌های مختلفی چون مطالعه سنگ‌نگاری با کاتاندولومینسانس (CL)، تعزیزه لیزر رامان، مطالعه ریزدماسنجی میانبارهای سیال و ایزوتوپ پایدار گوگرد استفاده شده است.

کاتاندولومینسانس (CL)، به عنوان یک ابزار مغاید در مطالعه ریزشکستگی‌ها و انواع منطقه‌بندی در کانی‌های به کار می‌رود که با استفاده از نورهای بازتابی و انکساری انسان توانایی دیدن آنها را ندارد. از کاتاندولومینسانس (CL) نزیر برای مطالعه فرایندهای مختلف زمین‌شناسی همانند سنگ‌نگاری رسوبات، فرایندهای Tome and Tornos, 2009 (Zircon U-Pb)، استفاده می‌شود (Dialuz and Zirnkoronolit)، اما امروزه این روش در مطالعه کانی‌های حاصل از فرایندهای گرمابی، از جمله زبرکن و کوارتز گرمابی، استفاده می‌شود. برای داشتن نتایج دقیق تر از این مطالعه این روش با روش‌هایی همچون تعزیزه لیزر رامان، ریزدماسنجی و LA-ICP-MS میانبارهای سیال استفاده می‌شود تا بتوان تاریخچه روند تعییر و تحولات سیال‌ها را طی تشکیل یک کانسار تعیین کرد. Tome and Tornos (2009) بر این باورند که در بستر موافق، بلورهای کوارتز دارای منطقه‌بندی، شامل میانبارهای سیال به دام افتاده‌ای هستند که در مراحل مختلف

۲- موقعیت جغرافیایی و زمین‌شناسی منطقه

تاقدهیں بسیار بزرگ است که میدوک و منطقه موردنظر مطالعه در کناره شمال باختیری آن غرار دارند. ساختارهای زمین‌ساختی منطقه شامل گسل‌ها و ساختارهای حلقوی، حاصل جایگزینی توده‌های نفوذی و پراخون مخروطهای آتششانی منطقه است که توسط افراد مختلفی در این منطقه بررسی شده است (Berberian and King, 1981; Sadeghi et al., 2008; Jafari Rad and Busch, 2011; Sadeghi et al., 2008؛ عبادی، ۱۳۸۸؛ میرزابابایی، ۱۳۹۰). رگهای کوارتزی در منطقه لاطلا در امتداد شمالی جنوبی و شمال خاوری جنوب باختیری کشیده شده‌اند (عبادی، ۱۳۸۸؛ محرومی و همکاران، ۱۳۸۸). گسترش این رگهای دارای امتداد شکستگی‌ها و گسل‌های شعاعی پراخون کانسار پورفیری میدوک است. در این منطقه رگه کوارتزی دارای کانی‌سازی شناسایی شده است که بهترین کانی‌سازی از ۲۰ سانتی‌متر تا ۲۰۰ متر دارند (موفر و همکاران، ۱۳۸۹؛ علی‌آبادی و همکاران، ۱۳۸۵). رگه کوارتزی بزرگ دارای کانی‌سازی فلزات پایه در منطقه وجود دارند که روی آنها گمانه‌ها و تراشه‌های توسط سازمان زمین‌شناسی و اکتشافات معدنی کشور خفر شده است (شکل‌های ۱ و ۲). فراوانی عناصر فلزی نشان‌دهنده آن است که این کانسار از دیدگاه داشتن روی، سرب و مس اقتصادی است (شکل‌های ۲ و ۳ و جدول ۲). بر پایه نمودار سه‌تایی فلزات پایه، طلا و نقره و جانسایی داده‌های تعزیز روی نمودارهای سنتایی (Pb-Cu-Zn) و $\{Ag^{*}100+Au^{*}1000+(Pb+Cu+Zn)\}$ مشخص می‌شود که این کانسار در محدوده عناصر پایه فار می‌گردد (شکل ۳). برای مطالعه ویژگی‌های فیزیک‌شیمیایی سیال تشکیل‌دهنده کانستگ از نمونه‌های مغزه حفاری دارای کانی‌سازی در ژرفهای مختلف، شماری نمونه دارای کوارتزهای گرمابی انتخاب شد، که همراه با کانه‌های سولفیدی به صورت رگه و رگچه در شکستگی‌ها، ریزساختارها و حفرات رشد یافته بودند (شکل‌های ۴ و ۵). در منطقه لاطلا، رگهای کوارتزی از دید پارازیز کانه‌ها و کانی‌های باطله به سه دسته تقسیم می‌شوند: (الف) رگه کوارتزی شامل پیریت و کالکوپیریت همراه با کوارتز است که به صورت رگه و رگچه‌ای (شکل‌های ۴ و ۱۰) رشد می‌کند و به صورت توده‌ای در شکستگی‌ها دیده می‌شود؛ خاص محيط ابی ترمالی با سولفیداسیون بالاست. کانی کوارتز پیشتر به صورت بلور خودشکل همراه با کانی‌های خودشکل پیریت و کالکوپیریت در شکاف‌ها و بخش‌های میانی مجرای عبور این سیال‌ها در مراحل پایانی رشد کرده و دارای حاشیه‌های ثانویه است (شکل‌های ۷ و ۹، ب). رگهای دارای پیریت کالکوپیریت و اسفالریت، که دارای منطقه‌بندی و همراه با هماهنگی هستند. کانی‌های کوارتز به صورت بلورهای ریز و درشت در زمینه سنگ با این کانه‌ها دیده می‌شوند. (ب) رگه کوارتزی دارای گالن، اسفالریت و کالکوپیریت. کانی کوارتز همراه پیشتر به صورت بلور خودشکل با حاشیه رشدی ثانویه کلسیتی است. اسفالریت از نوع تیره و خاص محيط احیایی و بدون منطقه‌بندی است (شکل‌های ۵، الف، ب و ب). پادرنتر گرفتن بافت می‌توان نسل‌های کوارتز را تشخیص داد برای نمونه، در یک رگچه نسل اول، کوارتزهای موجود در حاشیه رگه‌ها و گاه همراه با کانی کانولینیت در حاشیه دیواره سنگ در پرگیرنده به صورت کوارتزهای ریزبلور یا بی‌شکل دارای فازهای کانی‌ای تیره‌تر دیده می‌شود که به سیلیسی شدن اشاره دارد (علی‌رضایی و اشرف‌پور، ۱۳۹۳). نسل دوم کوارتز ریزبلور همراه با کانه‌های سولفیدی رشد کرده و نسل سوم کوارتز خودشکل درشت‌بلور در مرکز فار دارد و فواصل میان آن توسط کانه‌های سولفیدی پر شده است. در شماری از نمونه‌ها همچوین نمونه ۳۳ BH2 کوارتزهای خودشکل دودی با میانه‌های فراوان بخار دیده می‌شود (شکل ۴، ج). در شماری از رگه‌ها، کانی‌های خودشکل کوارتز همراه با کلریت رشد می‌کنند و کلریت به صورت میانبار کانی‌ای در این کوارتزها دیده می‌شود (شکل ۵، الف).

۴- گروه‌های گرمابی

دگرسانی گرمابی در منطقه بر پایه مطالعه سنگنگاری، درصد کانی‌های چهاره، کانی‌های ثانویه حاصل از دگرسانی کانی‌های اصلی و نیز کانی‌های

منطقه موردنظر مطالعه در شمال باختیر نفشه ۱/۱۰۰۰۰ زمین‌شناسی شهریابک و شمال معدن میدوک فرار دارد (شکل ۱). بر پایه مطالعات Dimitrijevic (1973) که نین سنتگ‌های این ناحیه فلیش و آزمیزهای رنگین با سن کرتانه پیش می‌شوند که در بخش شمال و شمال خاوری رخمنون دارند. راندگی این واحد زمین‌شناسی روی توده‌های آتششانی بر پایه گسل راندگی در منطقه است. در بخش شمال خاوری منطقه موردنظر مطالعه، بخش کوچکی از این فلیش در شکل ۱ دیده می‌شود. انسن با فلیش قاعده‌ای آغاز و سپس با رسوب کنگلومرا، ماسه‌سنگ، سنگ‌آهک و مارن ادامه پیدا می‌کند. گذازمهای این زمان با ترکیب داسیت، آندزیت، تراکی آندزیت، تراکی بازالت و آذرآواری‌های وابسته و کمی ایگنیت بیشترین برونزهای این محدوده را تشکیل می‌دهند. توده‌های نفوذی منطقه را گراندبوریت، کوارتزدبوریت و مونزونیت کوارتزدار به سن پیش از انسن تشکیل می‌دهند که در بخش خاوری منطقه موردنظر مطالعه توده نفوذی پورفیری سارا و در بخش جنوبی آن، توده نفوذی میدوک فرار دارد (شکل‌های ۱ و ۲). منطقه موردنظر مطالعه، در شمال مجتمع مس میدوک در باختیر استان کرمان فرار گرفته است. ناحیه شهریابک در شمال کمریند مگسایی دفع ساردویه یا کمریند می‌کرمان فرار دارد که خود بخش جنوبی کمریند تکنون مگسایی ارومیه دختر است. کمریند ستوزویک ارومیه دختر (UDMB) ایران با گسترش طولی پیش از ۲۰۰۰ کیلومتر از شمال باختیر تا جنوب خاور به موازات کوه‌های زاگرس در باختیر ایران گسترش بافته است. این کمریند بک سیستم نفوذی آتششانی شامل کانسارهای پورفیری مس مولیدن طلاست که با کانسارهای بزرگی همانند سرجشمه و میدوک در جنوب و سونگون و مسجدادی در شمال آن مشخص می‌شود. ذخایر نوع رگه‌ای و فلزات پایه و گرانهای نیز با کانی‌سازی پورفیری مس در این کمریند همراه است (موزمن‌زاده، ۱۳۶۱؛ سبزه‌ای، ۱۳۶۹؛ عطاپور، ۱۳۸۶؛ Forster, 1978). از کانسارهای رگه‌ای می‌توان به چاموسی و لاطلا در جنوب کمریند مگسایی ارومیه دختر و زگلک و شرف‌آباد در شمال آن اشاره کرد (موزمن‌زاده، ۱۳۶۱؛ سبزه‌ای، ۱۳۶۹؛ حسن‌زاده، ۱۳۷۸؛ عابدیان، ۱۳۸۰؛ عطاپور، ۱۳۸۶؛ علی‌آبادی، ۱۳۸۵؛ مدرک، ۱۳۸۹؛ میرزا و همکاران، ۱۳۸۸؛ حسنه‌خانی، ۱۳۸۸؛ آندزیت، ۱۳۸۵؛ Padyar et al., 2015 and 2016؛ Ebrahimi et al., 2011؛ Alirezaei et al., 2010).

۳- زمین‌شناسی و گانه‌زایی منطقه لاطلا

سنگ‌های آتششانی و آذرآواری لاطلا بر پایه تجزیه ۶۲ نمونه به روش XRF-ICP و کانی‌شناسی، در محدوده بازالت، تراکی بازالت، تراکی آندزیت، آندزیت و داسیت فرار می‌گیرد. این سنگ‌ها، از دید بافت و ساخت شامل گذاره‌ها، توف و آگلومرا هستند. گذاره‌های پورفیری دارای درشت‌بلورهای از الیون دگرسان یافته (ایدیتگریتی شده) پیروکسن، پلازیوکلارز و ساندین است. پیشتر نمونه‌های لاطلا از دید گرایش ژئوشیمیایی، در محدوده شوشونیتی و کالک‌آلکالن با پیاسیم بالا فرار می‌گیرند (Padyar et al., 2015). مگما مادر سنگ‌های بازیک متعلق به سری شوشونیتی است. نوع چهار سری مگسایی کالک‌آلکالن با پیاسیم بالا و نفوذی‌های انتهایی به صورت دایک در منطقه لاطلا با ترکیب سنگ‌های حدواتسط اسیدی رخمنون دارند. در طی جای گیری توده‌های نفوذی منطقه، سنگ‌های آتششانی در برگیرنده، رگه‌های کانی‌سازی دچار دگرسانی شدید شده‌اند و تعیین دقیق ترکیب سنگ‌شناسی منطقه به راحتی امکان‌پذیر نیست. ویژگی‌های ترکیب کانی‌شناسی و شبیه‌یابی نمونه‌ها یا یانگر تأثیر فراوان دگرسانی سیلیسی و پیاسیک در منطقه است. کانسار رگه ای لاطلا در ۸ کیلومتری شمال کانسار مس پورفیری میدوک فرار دارد و شامل چند رگه کوارتزی دارای کانی‌سازی در سنتگ‌های میزان آتششانی و نفوذی است. بر پایه مطالعات انجام شده پیش، منطقه از دید ساختاری، بخشی از بهن برشی راست‌گرد و حاصل عملکرد دو گسل راستالنگ انان و شهریابک است (Berberian and King, 1981).

از بلورهای کوارتز خودشکل، مرکز منطقه بندی رشدی دارد و بخش حاشیه بلور دارای حاشیه رورشی (Overgrowths) است که در تصاویر CL با تغییرات رنگ به خوبی دیده می شود (شکل ۷ الف). در شماری از نمونهای کوارتزها (شکل های ۷ و ۹) در حاشیه این کانی های خودشکل، رنگ لومینسانس تبره است که نشان از رشد حاشیه ای ثانویه در بلورهای کوارتز دارد. در تصاویر CL، رنگ لومینسانس در بخش حاشیه ای تبره و در مرکز شماری از بلورها، روشن است و تغییرات رنگی در بخش های مختلف منطقه بندی دیده می شود. در شماری از نمونهای حضور میانبار کاپیاپی در مرکز برخی از بلورها سبب به هم ریختگی منطقه بندی شده است (شکل ۸). نسل های مختلف کوارتز و چگونگی رشد کوارتز همراه با کانه ها در ۳ نسل در تصاویر CL به خوبی دیده می شود (شکل ۷).

۶- مطالعه ریزدماسنجهی میانبارهای سیال

در مرحله اول، مقطع دور صیقل تهیه شده توسط پیکروسکرپ Nikon در سازمان زمین شناسی و اکتشافات معدنی ایران و پیکروسکرپ ZEIZZ متعلق به دستگاه فلورسانس با نتایج ۲۰X- ۵۰X-100X در دانشگاه لورین ناسی فرانسه مطالعه شد. پس از سنجنگاری و تعیین موقعیت میانبارهای سیال در انواع کوارتزها، مطالعه ریزدماسنجه روی این میانبارهای سیال انجام شد. در این مطالعه با استفاده از استینگ MDS-600 Linkam و نرم افزار AAAL=18 AI=45-75 مدل MDS-600 در سازمان زمین شناسی و اکتشافات معدنی ایران و دانشگاه لورین ناسی مطالعه صورت گرفت. در کالیبراسیون این دستگاه، از نمونهای میانبارهای سیال در کوارتز ستری برای تعیین دمای همگن شدگی (Th)، درصد شوری با استفاده از دمای $T_{m_{co_2}}$ و تعیین $T_{m_{co_2}}$ و $T_{m_{co_2}}$ استفاده شد. پس از سنجنگاری و تعیین ریخت شناسی میانبارهای سیال در کوارتز، مطالعه ریزدماسنجه روی این میانبارهای سیال انجام شد. در مطالعات سنجنگاری و تجزیه ریزدماسنجه نمونه ها، مجموعه های میانبارهای سیال مرکزی بلورها در نظر گرفته شد (شکل ۱۰ ب). میانبارهای سیال در بخش ها و نسل های مختلف کوارتز شناسایی و روند تغییرات از دید دما و ترکیب بررسی شد. بر پایه مطالعات سنجنگاری، چهار نوع مختلف از میانبارهای سیال شناسایی شد: ۱- دوفازی غنی از بخار و غنی از مایع (Ia-Ib)، ۲- سه فازی دارای CO_2 به صورت مایع و فاز بخار (کلاترت)، غیر قابل امتزاج (IIa-IIb)، ۳- سه فازی دارای مایع و بخار و جامد (III+)، ۴- تک فازی دارای بخار و مایع. نتایج هر نوع از میانبارهای سیال به تفصیل در جدول و نمودارهای فراوانی نمایش داده شده است (جدول ۳ و شکل ۱۵). نتیجه مطالعات میانبارهای سیال در نمونهای کوارتز دامنه دمای همگن شدگی از ۱۳۵ نا ۳۸۰ درجه سانتی گراد و شوری از ۰/۱۷ نا ۷/۷٪ (Wt % equi-NaCl) را نشان می دهد. بیشترین فراوانی دمای همگن شدگی میان دمای های ۲۲۲ نا ۲۵۲ درجه سانتی گراد برای میانبارهای دوفازی غنی از سیال است. در نمونه های آندازه گیری شده دمای همگن شدگی در میانبارهای سیال در مرکز بلورهای کوارتز گرمابی بالاتر از دمای همگن شدگی در میانبارهای سیال در حاشیه های رشدی ثانویه است. در نمونه های مطالعه شده مقادیری از گاز CO_2 وجود دارد که در مطالعه دما فشارستینجی میانبارها قابل اندازه گیری است. T_m در نمونه های دارای کلاترت و CO_2 میان ۵۸ نا ۴۷ با میانگین ۵۳ است (جدول ۳). در شمار کمی از نمونه ها فاز جامد هالیت دمای T_{s-hal} میان ۲۵۳ نا ۲۷۳ و درصد شوری میان ۳۸/۹ نا ۳۹/۶ (Wt % equi-NaCl) را نشان می دهد. بیشترین فاز جامد در میانبارهای سیال را کانی های حاصل از دگرسانی تشکیل می دهند که طی فرایند دگرسانی، با مرافق بعدی تمولات سیال های مانند مسکوویت و تیبلت، کانی های کربناتی (دواسوئیت و ناترو کربنات)، کلریت و اکسید آهن در زمینه نیز حضور دارند. حضور کوارتز و دواسوئیت در میانبار سیال دارای فاز CO_2 دار در شکل ۱۱ دیده می شود.

جاگزین در رگمه ای و رگچه ای، تجزیه های شیمی سنگ کل و XRD بررسی شد. شاخص های دگرسانی ایشکاوا - AAAI بر پایه فرمول پیشنهادی Williams and Davidson (2004)

$$AI=100(K_2O+MgO)/(K_2O+MgO+Na_2O+CaO)$$

$$AAAI=100SiO_2/(SiO_2+10MgO+10CaO+10Na_2O)$$

این شاخص ها به بیان کمی شدت دگرسانی ها بر پایه مجموعه های سریستی، کلریتی، پیرینی و سلبی در نمودار دگرسانی ایشکاوا به ویژه در سامانه کانی سازی در توده های آتشنشانی و سامانه های VHMS کمک می کنند (Herrmann et al., 2009). در تقسیم بندی (Gemmel et al., 2007) بر پایه میزان این شاخص های می توان ۳ شدت دگرسانی را تعیین کرد (این بحث مختص به سامانه های باز از دید بادلات یونی است):

(۱) شاخص ۲۰ تا ۶۰ برای سنجک های دگرسان شده تعریف شده است.

(۲) شاخص ۵۰ تا ۹۹ برای سنجک های دگرسان شده تعریف شده است.

(۳) شاخص ۱۰۰ برای سنجک های کاملاً دگرسان شده تعریف شده است.

اندیس های بالا برای سنجک های منطقه لاطلا به دست آمد و روی نمودار ایشکاوا (شکل ۶) جانسای شد. شماری از نمونه ها در قلمرو مستطیلی شکل مرکز نمودار با مانگن AI=45-75 و AAAL=18 ۶۵ فرایند پیشونده دگرسانی در منطقه هستند، بیرون از نمودار جعبه ای قرار می گیرند که با دگرسانی های موجود در منطقه که با فلش روند آن مشخص شده است، همخوانی دارد. نتایج به دست آمده نشان دهنده آن است که روند تغییرات به سوی دگرسانی کانولینتی سریستی و سلبی شدن است.

کانی سازی در لاطلا با دگرسانی گرمابی سنجک های میزان رگمه ها همراه است. مهم ترین دگرسانی ها شامل سریستی شدن، کلسیتی شدن، کلریتی شدن، اپیدوتی شدن و سلبی شدن است. وجود ساختارهای بعدی سلبی (quartz Vuggy) و دگرسانی سریستی (rsi پیشرفت) و ساختارهای پر کننده فضای خالی (Open space filling) و حضور آنانزیت، ترائوریت و تاننت ممکن می باشد و وجود یک محیط ای ترمالی با سولفیداسیون بالا با متسط است، که با کانسارت رگمه ای این ترمال مرتبط با یک سامانه پورفیری در ارتباط است (Pirajno, 2009; Hovakimyan et al., 2015) و دگرسانی سریستی و ساختارهای پر کننده فضای خالی (Open space filling) به فراوانی در نمونه ها دیده شده است.

۵- مطالعه کاتدولومینسانس (CL) کوارتزهای گرمابی

نمونه هایی از کوارتز رگمه ای و رگچه ای در گمانه های برای مطالعه انتخاب شد. از نمونه های مناسب، با دستگاه کاتدولومینسانس (دستگاه کاند با ویزگی های: CCL 8200-MK4)، اختلاف پتانسیل ۱۵ کیلوولت و شدت جریان ۴۰۰ میکروآمپر) در آزمایشگاه کاتدولومینسانس پژوهشگاه صنعت نفت برای مطالعه نسل بندی و تعیین منطقه بندی کوارتزها، تصاویر CL تهیه شد. رشد خودشکل و منطقه بندی در کوارتز می تواند نشانگر رشد این کانی در فضاهای باز باشد (شکل های ۷ و ۸). وجود حاشیه های تبره و حاشیه های رورشی (Overgrowths) نشان دهنده وجود ساختارهای انحلالی در سامانه های گرمابی است (شکل های ۸ و ۹) این ساختار می تواند حاصل نوساناتی در فشار دما و ترکیب سیال باشد و از این ساختارها می توان برای تعیین روابط کرونولوژی و ویزگی های فرمیکی و شبیه سیال ها در کوارتز استفاده کرد (Bignall et al., 2002; Pudack et al., 2010; Wilkinson et al., 2001; Kerkhof and Hein, 2001). شماری از نمونه های سیال علی از CO₂ خودشکل دودی هستند که ناشی از وجود میانبارهای سیال علی از CO₂ است (Kouzmanov and Pokrovsky, 2012). شماری از نمونه های سیال در کوارتز میانه های سولفیدی (Wilkinson, 2001; Kerkhof and Hein, 2001) در مطالعات کاتدولومینسانس نشان دهنده ای از رگمه های کوارتز دارای کانه های سولفیدی، همراه با شواهدی از منطقه بندی رشدی در کوارتز خودشکل، دیده می شود (شکل ۷). در شماری

۷- مطالعه لیزر رامان اسپکتروسکوپی میانبارهای سیال

دمای میان ۲۵۰ تا ۳۰۰ درجه سانتی گراد و $\text{pH}=4-5$ است. در مطالعات و تفسیم بندی ها روی رگههای کوارتزی دارای کانی سازی در منطقه دیده می شود که با تغیر ژرفای فاصله از توده های نفوذی منطقه، افزون بر تغیر نوع و شدت دگرسانی و بیزگی های سیال های کانی ساز، پارائزها و نوع رگهها نیز تغیر می کند. (Pirajno, 2009) بر این باور است که طی فرایند تغیر در توده های پورفیری خلقت عنصر ناسازگار در فازهای بخار (سیال ها) مانند Sn-W-Mo-Th-U-Zr-Ta-Nb-Hf افزایش می باید و در مذاب باقیمانده در بخش های خارجی توده های نفوذی پورفیری عناصری همچون آزمایش های گرمابش و سرمابش (مانند ترکیبگی میانبار در اثر وجود فاز CO_2 و انساط فازها و نیز نشت و تغیر ترکیب میانبار) صورت گرفت. با استفاده از لیزر رامان اندازه گیری ترکیب فاز بخار و شناسایی فاز جامد به دام افتاده در میانبارهای سیال انجام شد. درستگنگاری فازهای جامد میانبارهای سیال کانی هایی همچون کوارتز، مسکروپوت، کلربیت، کانی های کربناتی و نیز اکسیدهای آهن شناسایی شدند. مطالعات لیزر رامان حضور فازهای مانند کوارتز و کانی مسکروپوت را در نسونه های میانبارهای سیال مطالعه شده تأیید کرد (شکل های ۱۱ و ۱۲). برای شناسایی انواع فازهای جامد در میانبارهای سیال از نرم افزار Crystalsleuth استفاده شده است (شکل ۱۲). در مطالعات انجام شده روی فاز بخار میانبارهای سیال توسط لیزر رامان وجود CO_2 تأیید شده است. در میانبار سیال (شکل های ۱۱ و ۱۳) می توان در بخش بخار به خوبی تفکیک بخش تیره دارای CO_2 و بخش غنی از بخار H_2O را دید.

۸- مطالعه ایزوتوپ گوگرد

برای تعیین منشأ گوگرد کانستگ، ۱۰ نمونه دارای پیریت، گالان، کالکوپیریت و اسفالریت از بخش های مختلف کانستگ در اساق مختلط انتخاب شد. تعییه در آزمایشگاه G.G.Hatch در دپارتمان علوم زمین در دانشگاه اتاوا کانادا انجام شد. ترکیب ایزوتوپی گوگرد برای پیریت میان ۹۶٪ تا ۲/۵ در هزار، برای کالکوپیریت میان ۲۵٪ تا ۴/۸ در هزار و در گالان میان ۲/۳٪ تا ۹/۶ در هزار تعییر می کند (جدول ۱). می توان با استفاده از فاکتور تفکیک ایزوتوپی سولفید (Li and Liu, 2006) و مقادیر بیشترین کسترن و میانگین داده های دمایی H_2S در تعادل با گالان، ۲/۱٪ در هزار برای H_2S در تعادل با گالان، ۴/۹ در هزار برای H_2S در تعادل با کالکوپیریت و میان ۶/۳٪ تا ۶/۴ در هزار برای H_2S در تعادل با اسفالریت تعیین کرد (جدول ۱). ترکیب ایزوتوپی این کانی ها به ترتیب $\text{CaFeS} > \text{ZnS} > \text{SF}_{\text{eS}} > \text{SP}_{\text{eS}}$ و با مقادیر ایزوتوپ مانگابی مطابق است.

۹- بحث

در مطالعات کاندولومینسانس بر پایه تصاویر گرفته شده از مقطع مختلف رگه های کوارتز دارای کانه های سولفیدی در کوارتزهای خودشکل، شواهدی از منطقه بندی رشدی دیده می شود. در حاشیه شماری از این کانی های خودشکل، رنگ لومینسانس تیره است و نشان از رشد حاشیه های ثانویه بلورهای کوارتز (رورشیدی) دارد. وجود فازهای کالیبایری و تغییرات دمایی میانبارهای سیال در این بخش ها (شکل ۹ ب) نشان دهنده تأثیر گذاری چند باره فرایندهای گرمابی در منطقه است. مطالعات سنگ شناسی و ژئوشیمی سنگ های منطقه گویای تأثیر یک فاز مانگابی نفوذی بعدی روی سنگ های آتشفانی دربرگیرنده رگه های کوارتزی دارای کانه است. از مطالعات سنگ نگاری و تعییه XRD کانی ها اعم از کانی های رسی و نیز تعییه شیمی سنگ کل و تعیین اندیس ایشکاوا، برای تعیین روند تغییرات دگرسانی در منطقه استفاده شد که مشخص می کند این روند به سوی دگرسانی کانولینی سرسیستی است. احمدی و همکاران (۱۳۹۲) بر این باورند که تشکیل کانولینیت ها در کاسارهای ابی ترمالی، به شرایط اسدی و وجود مقادیر کمی از کاتیون های بازی نیاز دارد که در ارتباط با محلول های گرمابی حاصل از مانگما با

به صورت باطله در رگه‌های کوارتز دارای کانی‌سازی دیده می‌شود. شواهد حاصل از دگرسانی در منطقه و شواهد ایزوتوپی گرگرد و نتایج مطالعات لیزر رامان و ریزدماسنجه میانبارهای سیال در نسل‌های مختلف کوارتزها در رگه‌های کانی‌سازی سولفیدی منطقه همگی گوبای تأثیر سیال‌های ماگماهی گرمابی است که از بک توده ژرف ماگماهی از راه شکستگی‌ها نفوذ کرده و طی فرایندهای جوشش، آمیختگی سیال‌ها و واکنش سیال و سنگ دیواره که سبب تشکیل کوارتزهاست گرمابی همراه با کانه‌های سولفیدی شده است. تغییرات دما و ترکیب سیال در منطقه نشان از سرد شدن سیال‌ها طی بالا آمدن، جوشش و آمیختگی با آب‌های جوی دارد. با توجه به چگونگی توزیع عناصر پایه و گرانها در منطقه همه شواهد ساختاری این کانسار، کانه‌ها و کانی‌های باطله، دگرسانی و عبارهای تعیین شده با ویژگی‌های کانی‌سازی عناصر پایه رگه‌ای مرتبط با کانی‌سازی پورفیری معروف شده توسط کانسار لاطلا را نوع رگه‌ای چندفلزی این‌ترمال وابسته به کانسار پورفیری معروف کرد. همه شواهد موجود نشان دهنده روند تغییر و تحولات سیال‌های گرمابی از بک منشأ ماگماهی به سوی این‌ترمال در منطقه است.

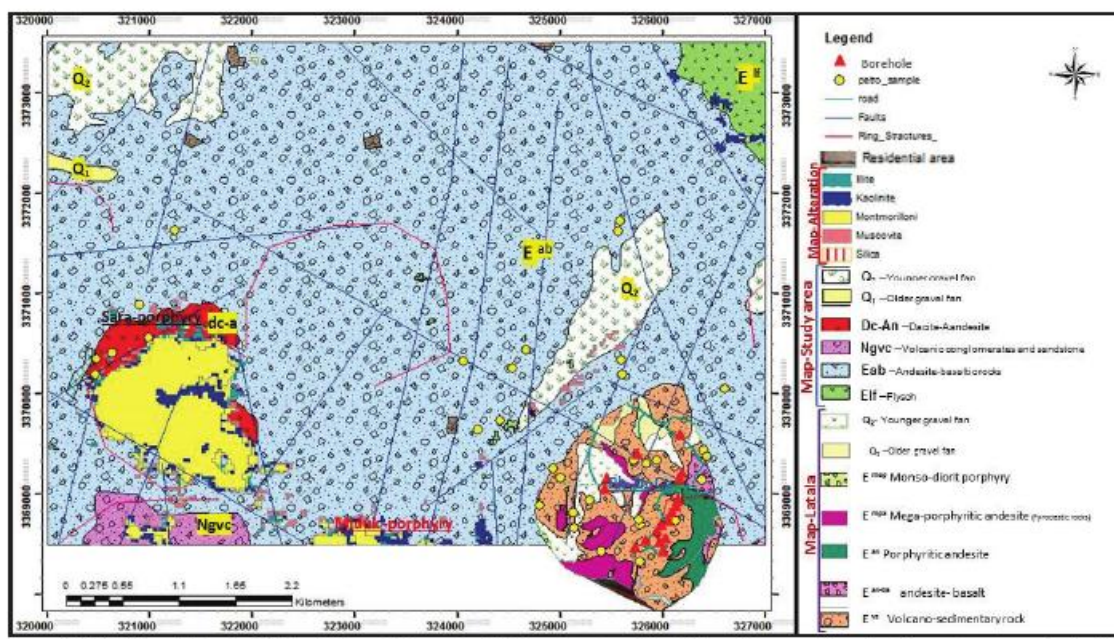
سپاسگزاری

این پژوهش بخشی از پایان‌نامه دکترای نویسنده اول است. بدین وسیله از سازمان زمین‌شناسی و اکتشافات معدنی کشور، از مشتلان معدن میدوک به دلیل در اختیار گذاشتن امکان نمونه‌برداری و از همکاری مشتلان مرکز GeoRessources دانشگاه لورین ناسی فرانسه و پورفسور زان دویسی سپاسگزاری می‌شود.

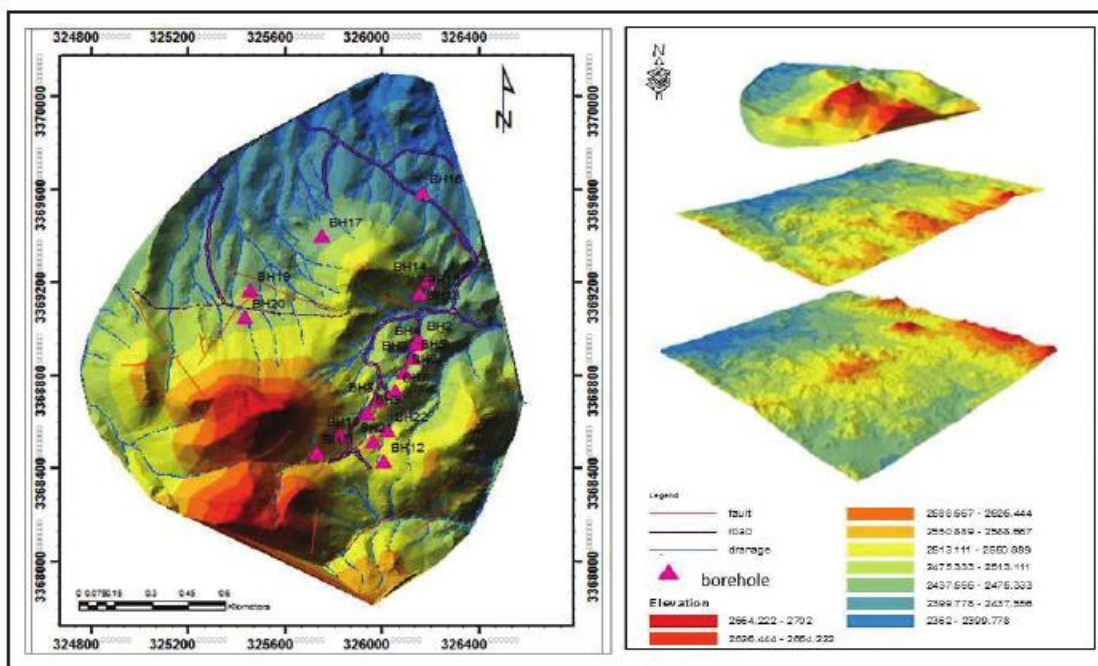
هر سیال ویزگی‌های فیزیکی و شیمیایی متفاوتی دارد و نتایج تجزیه ریزدماسنجه از میانبارهای سیال نشان دهنده روند تغییر و تحولات سیال‌های گرمابی از ماگماهی به سوی این‌ترمال در منطقه است.

۱۰- نتیجه‌گیری

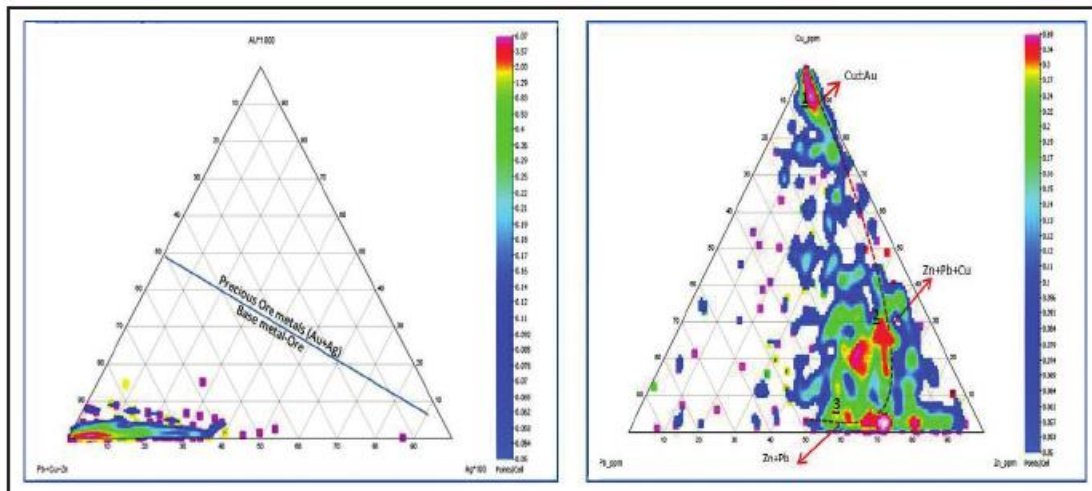
نتایج حاصل از مطالعات سنگنگاری از جمله حضور کوارتزهای دودی که پیشتر دارای میانبارهای غنی از بخار از نوع CO_2 دار هستند، حضور کانی آدولاریا و همراهی میانبارهای غنی از بخار و میانبارهای غنی از مایع، همگی از شواهد جوشش در سیال کانه‌ساز هستند. شواهد مطالعات کاندولومینسانس نشان از رشد چندمرحله‌ای کوارتزهای گرمابی در رگه‌های عناصر پایه در منطقه لاطلا دارد. کوارتز ریز بلور و بی‌شکل دارای میانبارهای کانی‌سازی فراوان در حاشیه رگه‌ها و بلورهای خودشکل در مرکز رگه‌های مطالعات ریزدماسنجه در کانی‌های مختلف کوارتزهای گرمابی محدوده دمای همگن‌شدگی گسترده‌ای از ۳۸۰ تا دست کم دمای ۱۳۱ درجه سانتی‌گراد و شوری از ۰/۱۷ تا ۷/۷ (Wt % equi-NaCl) در دو فازی‌های غنی از بخار و غنی از مایع را نشان می‌دهد. با تعیین جایگاه کانسار و سیال کانه‌ساز بر پایه نمودارهای شکل ۱۴ (Wilkinson, 2001; Pokrovski et al., 2013) کانی‌سازی از نوع این‌ترمال و سیال گرمابی حاصل از آمیختگی سیال ماگماهی با سیال جوی است. حضور کانی آدولاریا و میانبارهای کانی‌سازی فیلوسیلیکات همچوون ایلت و مسکوویت و کانی‌های کربناتی همچوون داوسونیت و ناتروکربنات همراه با کوارتز در میانبارهای سیال بیانگر سیالی است که در دگرسانی منطقه نقش دارد. آدولاریا، کوارتز، کلسیت و کانولیت



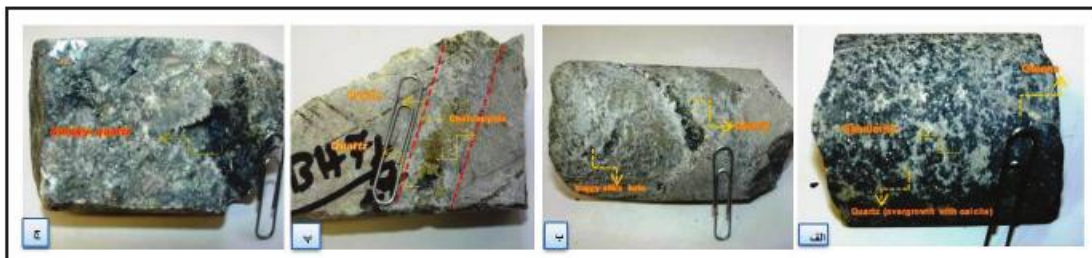
شکل ۱- نقشه زمین‌شناسی و دگرسانی منطقه مورد مطالعه و لاطلا (با تغییر از بیانی، ۱۳۹۲، موثر و همکاران، ۱۳۸۹ و ۲۰۱۱، Jafari Rad and Busch).



شکل ۲- نقشه سه بعدی دیجیتالی ارتفاعی از منطقه مورد مطالعه (بعضی لاطلا) و گمانه های حفاری که نمونه های کوارتز گرمابی از این گمانه ها در اعماق مختلف برداشت شده است (گمانه ها روی دورگه اصلی حفاری شده است).



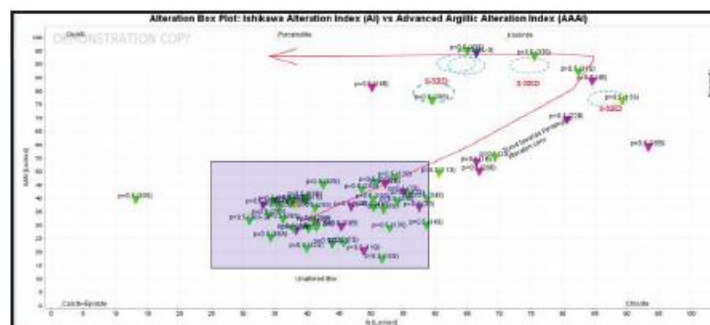
شکل ۳ - نمودار سه تابی ($\text{Ag} \times 100 + \text{Au} \times 1000 + (\text{Pb} + \text{Cu} + \text{Zn})$) بر پایه فراوانی این عناصر برای جانسیابی رگه های دارای کانی سازی عناصر پایه با استفاده از ۶۱۰ تجزیه سنگی شامل ۹ نمونه سنگی از توده های پورفیری (۳ نمونه: نگارنده، ۶ نمونه: سنگی از نمونه های آتشفسانی (نگارنده)، ۱۸ نمونه سنگی از گمانه ها در ژرفاهای مختلف (نگارنده، ۳۳۷ نمونه از گمانه ها در ژرفاهای مختلف (موفر و همکاران، ۱۳۸۹، ۲۰۵ نمونه لیتوشیمیایی (علوی و همکاران، ۱۳۸۵).



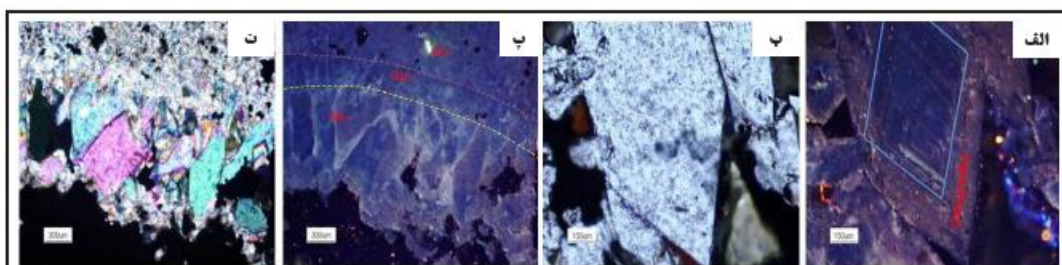
شکل ۴- نمایش نمونه های گمانه ای دارای کوارتزهای گرمابی نمونه الف از رگه کوارتز نوع سوم دارای کانه های گلان و اسفالتیت با کانی بالtele کوارتز دارای حاشیه رورشیدی کلیست (ب) نمونه ای از رگه کوارتز نوع اول دارای کانه های سولفیدی و کوارتز خودشکل (ب) نمونه ای از رگه کوارتز دارای پیریت و کالکوپیریت و کوارتز خودشکل (ج) نمونه ای از کوارتزهای دودی در شکاف های دارای میانبار بخار.



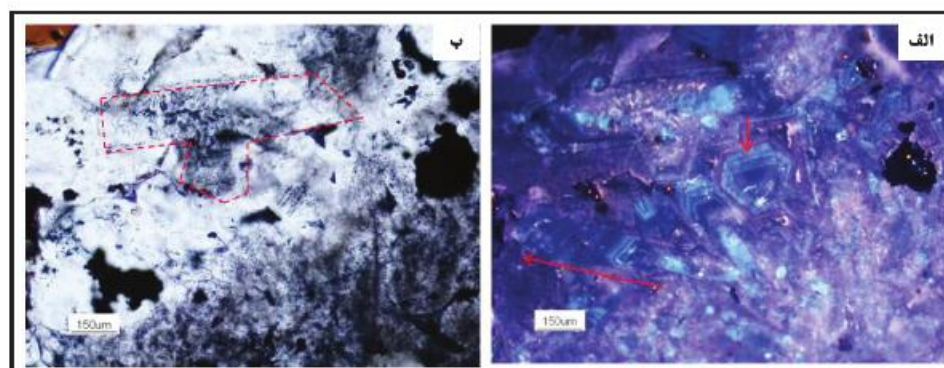
شکل ۵- (الف) تصویری از کوارتزهای همراه با کانه‌های کلریت (حضور کانه‌های کلریت در شماری از میانهای سیال این کوارتزها دیده می‌شود); (ب) تصویری از رشد بلورهای کوارتز همراه با کانه‌های سولفیدی که به صورت پرکننده فضاهای خالی کوارتزها در سلسله می‌شود؛ (پ) تصویری از چند نسل از کوارتز که درون ریزشکنگی‌ها رشد کرده‌اند. دیواره رنگ دگرسان شده (کالولیتی) دارای کوارتز تیره با میانهای کاتابایی کالولیتی و مرکز رنگ دارای کانه‌های خودشکل کوارتز همراه با کانه‌های سولفیدی است.



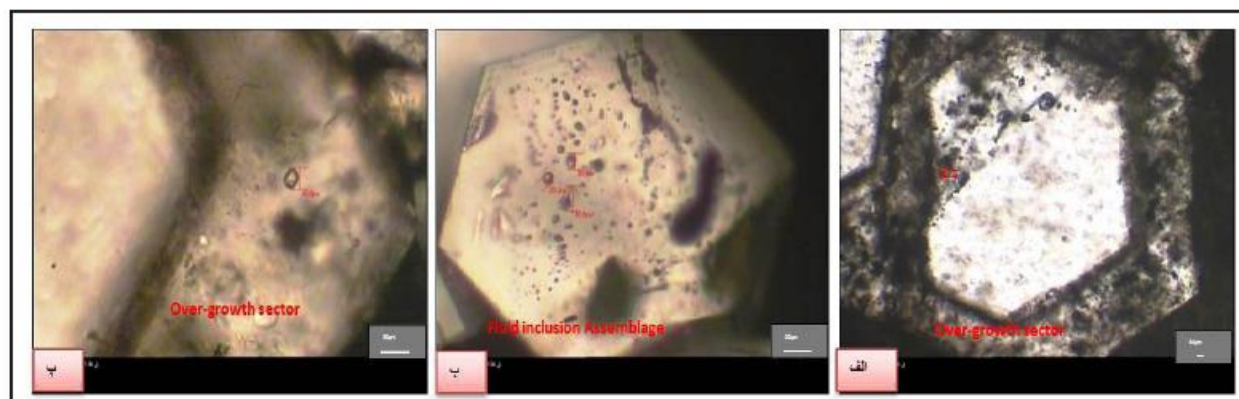
شکل ۶- نمودار توزیع نمونه‌ها در سودار تعیین دگرسانی ایشیکاوا. محدوده سنگ‌های دگرسان نشده توسط مستطیل و روند دگرسانی توسط فلش نمایش داده شده است.



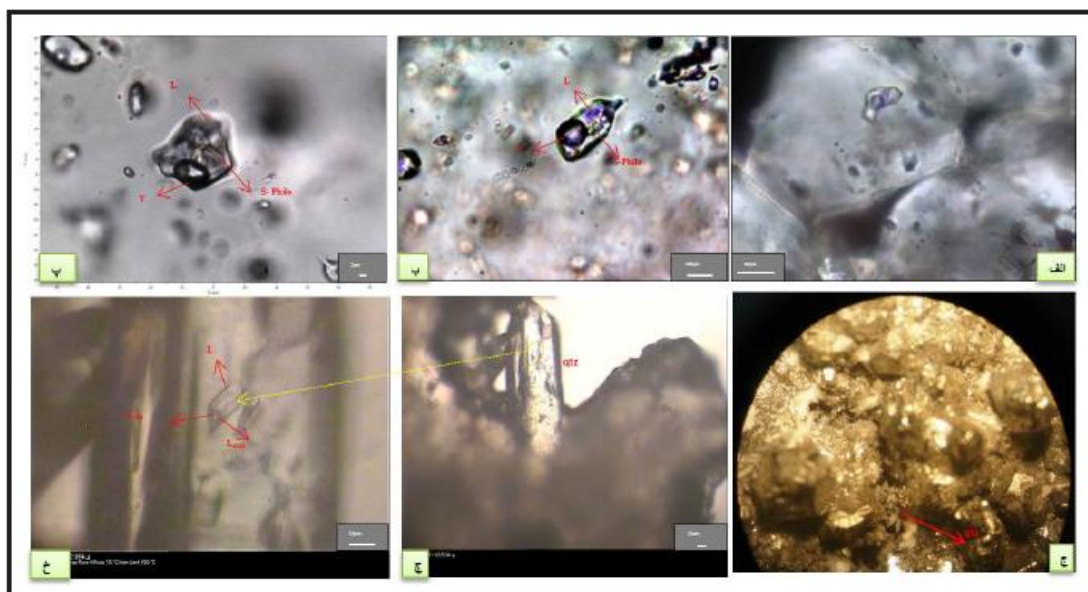
شکل ۷- (الف) و (ب) نمایش منطقه‌بندی رشدی در کوارتزگرمابی همراه با کانه‌های سولفیدی دارای رورشیدی (Overgrowth)؛ (الف) تصویر با استفاده از CL؛ (ب) تصویر در نور انکساری؛ (ب و ت) کوارتزهای گرمابی همراه با کانه‌های سولفیدی با ساختار حفرات پرکننده (Open space filling)؛ (ب) تصویر با استفاده از CL؛ (ت) تصویر در نور انکساری در نمونه ۴۴ BH7-



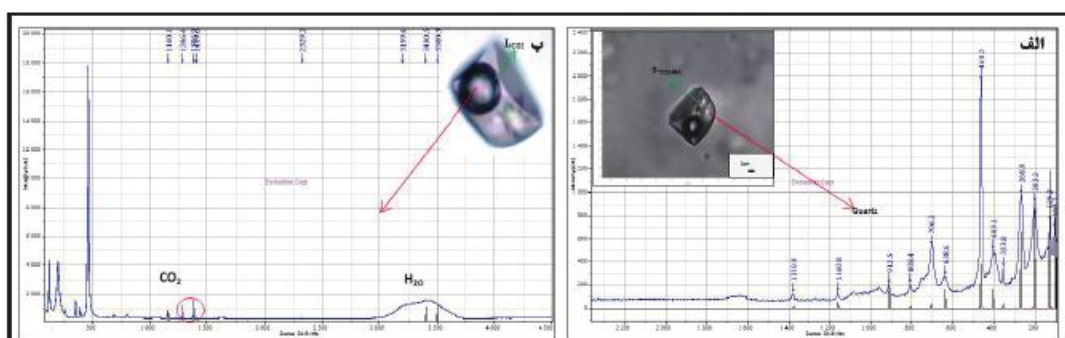
شکل ۸- نمایش منطقه‌بندی رشدی بلورهای خودشکل کوارتز گرمابی همراه با کانه‌های سولفیدی. رنگ لومینسانس در بخش حاشیه تیره رنگ و در مرکز تعدادی از بلورهای روشن است؛ تغییرات رنگی در بخش‌های مختلف منطقه‌بندی دیده می‌شود. وجود میانهای کاتابایی در مرکز برخی از بلورها سبب بهم ریختگی منطقه‌بندی شده است؛ (الف) تصویر با استفاده از CL؛ (ب) تصویر در نور انکساری در نمونه ۱۳ BH13



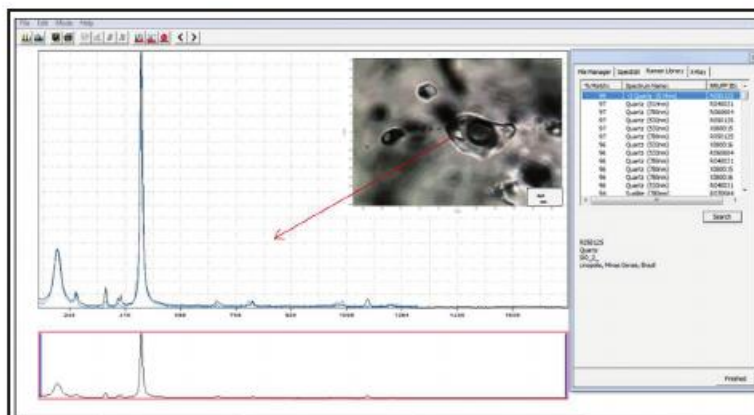
شکل ۹- (الف) رورشی (Overgrowths) در کوارتز نمونه میانوار سیال در بخش مرکز کانی و حاشیه ریزدهاستجی و بیزگی های دو سیال مختلف نشان داده شده است؛
ب) نمایش مجموعه ای از میانوارهای سیال (fluid inclusion Assemblages) FIA's میانوار سیال در بخش حاشیه ثانویه در نمونه 77 - BH13



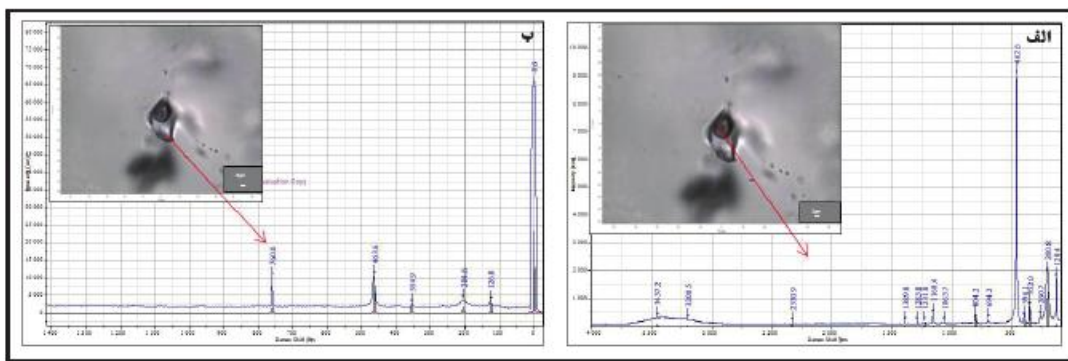
شکل ۱۰- (الف) میانوارهای سیال دارای فاز جامد کوارتز؛ (ب) میانوار سیال دارای فاز جامد کانیابی (فلوسیلیکات) است. در کانی کوارتز نیز از این فاز جامد به صورت میانوارهای کانیابی دیده می شود؛ (ب) میانوار سیال دارای کانی فلوسیلیکات (ایلت)؛ (ت) تصویر نمونه دارای پیریت های خودشکل و کوارتزهای خودشکل رشد یافته در حفرات نمونه گمانه 4-BH4؛ (ج) تصویر یک بلور خودشکل کوارتز گرمابی دارای میانوار سیال دارای فاز (Tm= -1.3, Th=267°C) CO₂



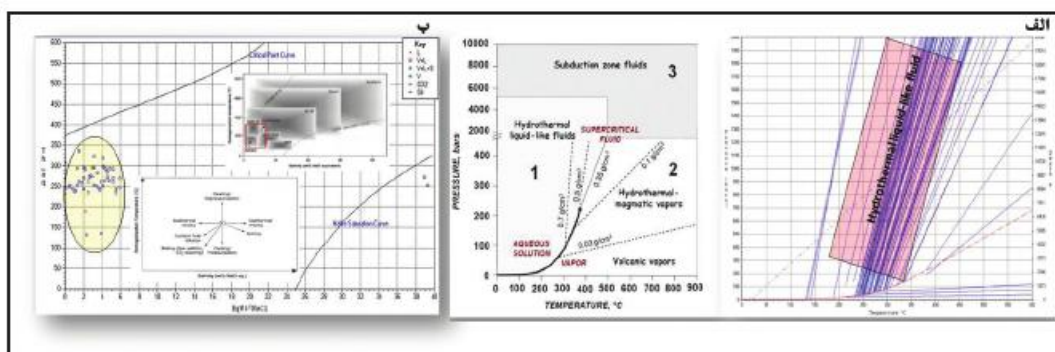
شکل ۱۱- (الف) میانوار سیال دارای فازهای جامد (کوارتز + داوسونیت)؛ تشخیص فاز جامد میانوار سیال (نوع جامد = کوارتز)؛ (ب) نمایش یک لیزر رامان، فاز بخار (دارای H₂O+CO₂). این سیال دارای Tm= -1.8 و Th= 300 °C است.



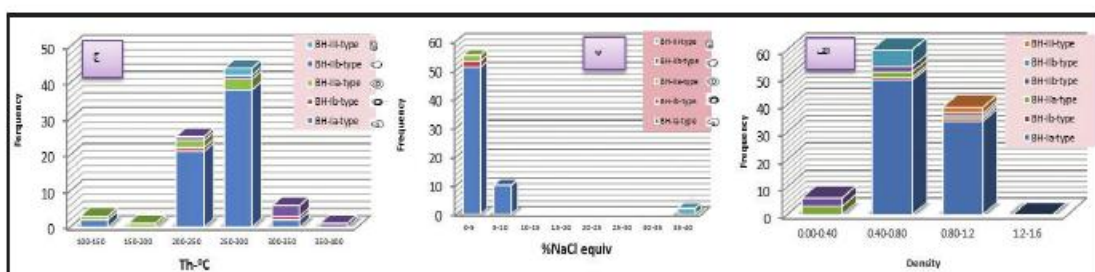
شکل ۱۲- تجزیه لیزر رامان از فاز جامد میابار سیال (کوارتز) نمایش یک فاز جامد در میابار سیال در نرم افزار .(Crystals leuth)



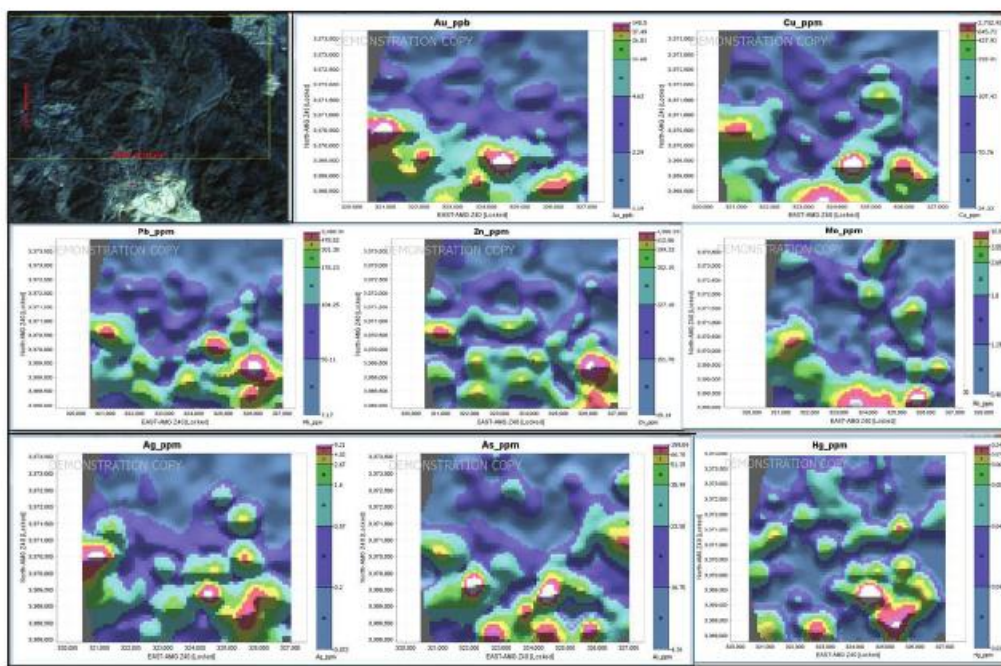
شکل ۱۳- (الف) نمایش تجزیه لیزر رامان فاز بخار (دارای CO_2); (ب) تجزیه لیزر رامان فاز جامد میابار سیال (کوارتز).



شکل ۱۴- (الف) نمودار نمایش ایزوگرادهای میابارهای سیال در شرایط لیتواستاتیک برای نوع دوفازی و نمایش موقعیت سیال گرمابی بر پایه نسودار معرفی شده توسط Pokrovski et al. (2013) (ب) نمایش جایگاه نتایج ریزدماسنجهی میابارهای سیال در نسودار دمای همگن شدنگی در برابر شوری و مقایسه آن با نسودارهای Wilkinson (2001) برای نمایش جایگاه کاسار و روند تغیر و تحول سیال.



شکل ۱۵- (الف) نسودار فراوانی چگالی برای نوع های مختلف میابارهای سیال در لاطلا؛ (ب) نسودار فراوانی درصد شوری؛ (ب) نسودار فراوانی دمای همگن شدنگی.



شکل ۱۶- مونویت کاسار عناصر پایه و گرانیت لاطلا و نقشه منطقه بندی عنصری و ارتباط عناصر پایه و گرانیت در منطقه لاطلا با توده های پورفیری
میدوک و سارا.

جدول ۱- مقدادیر ایزوتوپ گوگرد در کانه های سولفیدی و تتفکیک ایزوتوپی گوگرد میان کانه های سولفیدی و H_2S بر پایه ریزدانستجی میانبارهای سیال بر پایه بیشترین، کمترین و میانگین دمای تجزیه

Sample ID	N	Vein mineralization	Mineral	$\delta^{34}S\%$ (CDT) Measurement	$\delta^{34}S\%$ (CDT) H2S(MED-MAX-MEN)	Th, °C MAX-MIN-MED
BH1	1	CHA-PYR+PRY+QRTZ	Chalcopyrite	-4.79	(-4.9 -4.9 -4.9)	294-234-258.2
BH2-33	1	PRY+CHA-PYR+CALC+BORN+QRTZ	Pyrite; <20% quartz	-0.97	(-2.37 -2.07 -3.37)	335-132-255.9
BH3-82	1	CHA-PYR+PRY+ QRTZ	Chalcopyrite; <20% Pyrite	-1.88	(-2.08 -1.98 -2.08)	309-235-269.6
BH4	1	CHA-PYR+PRY+CALC+BORN+QRTZ	Pyrite+ Chalcopyrite	-2.45	(-2.65 -2.65 -2.65)	295-252-281
BH5-36	1	PRY+CHA-PYR+SPH+GAL+QRTZ	Galena; ~30% Sphalerite	-5.7	(-3.6 -3.8 -3)	314-211-276.5
BH5-36	1	PRY+CHA-PYR+SPH+GAL+QRTZ	Sphalerite	-5.7	(-6 -6.3 -6.1)	285-144-214
BH13-77	1	PRY+SPH+CHA-PYR+QRTZ	Galena; <20% quartz	-2.13	(0.67 -0.03 -1.57)	275-144-202.87
BH14-30	1	SPH+GAL+QRTZ	Galena; <20% quartz	-9.55	-7.05	-
BH14-36	1	SPH+GAL+CHA-PYR+QRTZ	Galena; <20% quartz	-6.12	(-3.52 -3.72 -2.62)	245-157-218.5
BH18-27	1	PRY+CHA-PYR+CALC+GAL+ QRTZ	Pyrite; <20% quartz	-6.77	(-8.27 -7.97 -9.17)	294-135-248.5

جدول ۲- نتایج تجزیه ۳۳۸ نمونه مذکوه حفاری (مور و همکاران، ۱۳۸۹) و نتیجه میانگین ۵ عنصر

Pb-Cu-Zn-Ag-Au

Element	Number	(MIN-MAX(Average)
Au ppb	338	2.7-11300(350.25)
Ag ppm	338	0.2-530(17.16)
Cu ppm	338	24-156525(7525.28)
Pb ppm	338	28-94800(6772.17)
Zn ppm	338	170-135000(10051.6)
Cu+Pb+Zn ppm	338	325-232000(24349.1)

جدول ۳- نتایج مطالعه میابارهای سیال در رگه‌ها و رگچه‌های کوارنزی همراه با کانه‌های سولفیدی در منطقه

لطفاً

	SAMPLE NO	Composition	Host mineral	Number	T _{m,c}
2	BH14-30-36	L+V	qtz	26	-0.8- -4 (Ø-2.55)
5	BH13-77	L+V	qtz	5	-1.7- -4.2 (Ø-3.02)
6	BH4-50	L+V,V+L	qtz	8	-0.3- -4.9 (Ø-2.1)
7	BH4-50	CO ₂ , Clathrate	qtz	4	+0.1- +20 (Ø+3.46)
8	BH4-50	CO ₂	qtz	1	
9	BH4-50	L+V+S?	qtz	4	
10	BH5-36	CO ₂ , Clathrate	qtz	3	
11	BH5-36	L+V+S	qtz	2	
12	BH5-36	L+V,V+L	qtz	3	-1.5- -3.4 (Ø-2.4)
13	BH1-	L+V	qtz	20	-0.1- -3.4 (Ø-1.93)
14	BH18	L+V	qtz	6	-0.8- -3.2 (Ø-2.3)
15	BH21-47	CO ₂ , Clathrate	qtz	1	
16	BH21-47	L+V	qtz	12	-1.2- -3.7 (Ø-2.5)
17	BH2-33	CO ₂ , Clathrate	qtz	1	-1.3
18	BH2-33	L+V	qtz	9	-0.3- -2.5 (Ø-1.23)
19	BH6-40	CO ₂ , Clathrate	qtz	1	
20	BH6-40	L+V	qtz	8	-1.9- -7.9 (Ø-3.05)
21	BH3-28	CO ₂ , Clathrate	qtz	2	
22	BH3-28	L+V	qtz	11	-0.2- -4.5 (Ø-1.91)

ادامه جدول ۳

	SAMPLEL NO	T _{mCO₂}	T _{m_{che}}	Th _{CO₂}	Ts _{-hal}	Th _(°C)	Salinity NaCl %wt	Density (in g/cm ₃)
2	BH14-30-36					198-284 (Ø232.73)	1.32-6.22 (Ø3.70)	0.76-0.89
5	BH13-77					230-250 (Ø238)	2.79-6.07 (Ø4.49)	0.83-0.87
6	BH4-50					252-295 (Ø281)	2.14-3.12 (Ø2.63)	0.32-0.83 (Ø0.69)
7	BH4-50					113-333 (Ø234.14)		0.63-0.95 (Ø0.77)
8	BH4-50			+3.6				
9	BH4-50					231-381 (Ø286.67)		0.83-0.80 (Ø0.82)
10	BH5-36	-58.6 - -57	3.1	28- 29		211-275		
11	BH5-36				253-273	310-314	38.9-39.3 (Ø39.1)	1.124-1.146 (Ø1.135)
12	BH5-36					211-262 (Ø241.2)	2.47-5.47 (Ø3.9)	0.79-0.85 (Ø0.83)
13	BH1-					234-294 (Ø258.2)	0.17-5.47 (Ø3.15)	0.77-0.87 (Ø0.81)
14	BH18					135-294 (Ø248.5)	1.32-5.17 (Ø3.74)	0.73-0.96 (Ø0.81)
15	BH21-47	-48.4		4.8		275		0.03
16	BH21-47					246-324 (Ø286)	1.98-5.93 (Ø4.00)	0.71-0.85 (Ø0.078)
17	BH2-33	-47		-4.9		189		0.89
18	BH2-33					132-335 (Ø255.89)	0.50-2.31 (Ø1.36)	0.79-0.95 (Ø0.84)
19	BH6-40		0.9			381		0.50
20	BH6-40					250-343 (Ø290.62)	1.98-11 (Ø3.027)	0.778-0.83 (Ø0.805)
21	BH3-28	-56	5.2	-4- -3.8		272-301		0.7-0.78 (Ø0.75)
22	BH3-28					235-309 (Ø269.64)	0.33-7.11 (Ø3.10)	0.75-0.87 (Ø0.80)

گتابنگاری

- احمدی، م. ح.، شمعانیان، غ. و عزمنی، ح.، ۱۳۹۲- کانی شناسی و دگرسانی گرمابی سامانه رگه‌ای اپی‌ترمال در منطقه اکتشافی مطرآباد شمال خاور ایران، فصلنامه علوم زمین، جلد: ۲۲، ۸۸ ص. ۱۵۵ تا ۱۶۴.
- یاتانی، ب.، ۱۳۹۲- گزارش دورستجی منطقه شهر باپک، سازمان زمین‌شناسی و اکتشافات معدنی کشور. پادیار، ف.، رهگشای، م.، علیرضایی، س.، پورمعافی، م.، واندرحق، و.، نوریتنا، ل. و کمیل کومون، م.، ۱۳۹۶- معرفی زیرکن‌های ماگمایی و گرمایی حاوی انکلوزیون‌های سیال و انکلوزیون‌های مذاب در توده‌های پورفیری میدوک و سنتگ‌های آتشنشانی لاطلا در شمال کرمان ایران اولین همایش تخصصی و ملی کاربرد میانبارهای سیال در علوم زمین، دانشگاه زنجان. حسن‌زاده، ح.، ۱۳۷۸- پژوهه اکتشافات سیستماتیک در کمرنده ارومیه دختر، برگه ۱/۱۰۰۰ شهر باپک، سازمان زمین‌شناسی و اکتشافات معدنی کشور. حسینخانی، ا.، ۱۳۸۸- زمین‌شناسی، جایگاه تکتونوماگمایی و ارزیابی پتانسیل کانی‌سازی مس- طلا در کاسار چاه مسی (شمال شهر باپک)، پایان‌نامه کارشناسی ارشد، دانشگاه شهید بهشتی، ۱۳۰ ص. سزمه‌ای، م.، ۱۳۶۹- گزارش تحلیلی بر مسائل کانی‌سازی سرب و روی در کمرنده دهخ- ساردویه، سازمان زمین‌شناسی و اکتشافات معدنی کفر کرمان. عابدیان، ن.، ۱۳۸۰- اکتشافات چکشی در ورقه ۱/۱ شهر باپک، سازمان زمین‌شناسی و اکتشافات معدنی کشور. عابدی، ل.، ۱۳۸۸- تحلیل ساختاری معدن میدوک (لاچاه) و نواحی پیرامون آن، شمال خاور شهر باپک، پایان‌نامه کارشناسی ارشد، دانشگاه شهید بهشتی. عطایپور، ح.، ۱۳۸۶- تکوین ژنوشی‌بایی و متالوژی سنتگ‌های آذرین پتانسیل دار در کمرنده آتشنشانی و نفوذی دهخ- ساردویه استان کرمان با نگرشی ویژه به عناصر خاص. رساله دکترا، دانشگاه شهید باهنر کرمان، ۴۰۱ ص.
- علوی، م.، مظفری، ع.، سلطانی، ن. و دهقانی، م.، ۱۳۸۵- اکتشافات ژنوشی‌بایی و کانی سنگین در ورقه ۱/۲۵۰۰ میدوک (لاطلا)، سازمان زمین‌شناسی و اکتشافات معدنی کشور. علیرضایی، س. و اشرف‌پور، ا.، ۱۳۹۳- درآمدی بر فرایندهای کانستگ‌سازی، انتشارات تکرنگ، ۴۷۲ ص.
- مؤمن‌زاده، م.، ۱۳۶۱- گزارش دریاره پیشرفت کارهای اکتشافی کاسارهای مس حوزه میدوک، سازمان زمین‌شناسی و اکتشافات معدنی کشور. محرومی، ع.، درخشانی، ر. و رهنمازاده، ح.، ۱۳۸۸- ارتباط شکستگی‌ها و کانه‌زایی در محدوده معدن مس پورفیری میدوک، سال پنجم، ۲، ۱۵۵-۱۴۱ ص.
- مدرس، ک.، ۱۳۸۸- کانه‌زایی و دگرسانی و خصوصیات سیلات کانه‌ساز در کاسار پلی متال چاه مسی و ارتباط آن با کاسار پورفیری میدوک، پایان‌نامه کارشناسی ارشد، دانشگاه شهید بهشتی، ۱۶۴ ص.
- موقر، م.، عابدیان، ن.، برنا، ب.، مشکانی، س.، و صادقی‌گیگی، م.، ۱۳۸۹- گزارش نهایی اکتشاف طلا، نقره در محدوده لاطلا (شهر باپک)، سازمان زمین‌شناسی و اکتشافات معدنی کشور، ۱۳۰ ص.
- میرزاپاییان، غ.، ۱۳۹۰- ارتباط عوامل ساختاری و زمین‌ساختی با کانه‌زایی در کمرنده مس دهخ- ساردویه کفر کرمان پایان‌نامه کارشناسی ارشد، دانشگاه باهنر کرمان، ۱۲۴ ص.

References

- Aftabi, A. and Atapour, H., 2000- Regional aspects of shoshonitic volcanism in Iran. *Episodes*, 23(2):119 -125.
- Alirezaei, S., Modrek, H. and Padyar, F., 2010- Chahmelli epithermal base and precious metal deposit kerman copper belt, south iran: investigation of genetic relation with meiduk porphyry system. ACROFI-III Novosibirsk, Russia. P:6-7.
- Berberian, M. and King, G. C., 1981- Towards a paleogeography and tectonic evolution of Iran. *Canadian Journal of Earth Sciences*, 18: 210-265.
- Bignall, G., Ignall, G., Sekine, K. and Tsuchiya, N., 2002- Hydrothermal Quartz micro textures and depositional processes reveled by SEM-CL imaging Proceedings 24* NZ Geothermal Workshop, P:223-228.
- Cooke, D., Braxton, D., White, N. C. and Rinne, M., 2015- Metal transport and ore deposition in porphyry copper± gold± molybdenum deposits-contrasting behavior between deep and shallow environments. SGA meeting, 13th, Nancy 2015, France, book. 1: 275-278.
- Coveney, J. R. M. and Kelly, W. C., 1971- Dawsonite as a Daughter Mineral in Hydrothermal Fluid Inclusions Contrib. Mineral, and Petrol 32: 334-342.
- Dénes, R., Kiss, G. B., Ivascanu, P., Marton, I., 2015- Petrographic and Geochemical Study of the Porphyry and Epithermal Mineralization in the Bolcana magmatic- Hydrothermal System (Apuseni Mts, Romania). SGA meeting, 13th, Nancy France, book. 1:509-511.
- Dimitrijevic, M., 1973 - Geology of Kerman region, Institute for Geological and Mining Exploration and Institution of Nuclear and Other Mineral Raw Materials, Beograd-Yugoslavia. Geological Survey of Iran, Report No. Yu/52, 334.
- Ebrahimi, S., Alirezaei, S. and Pan, Y., 2011- Geological setting, alteration, and fluid inclusion characteristics of Zaglic and Safikhanloo epithermal gold prospects, NW Iran. Geological Society, London, Special Publications. 350: 133-147.
- Einali, M., Bakker, R. J., Alirezaei, S. and Azimzadeh, A., 2011- Laser Raman micro spectroscopy with fluid inclusions from the Darrehzar porphyry copper deposit, Kerman, Iran. ECROFI XXI Abstracts, Berichte der Geologische Bundesanstalt. 87: 82-83.
- Forster, H., 1978- Mesozoic- Cenozoic metallogensis in Iran -geological society-London, 135:443-445.
- Gemmell, J. B., 2007- Hydrothermal alteration associated with the Gosonwng epithermal Au-Ag deposit, Halmahera, Indonesia: Mineralogy geochemistry, and exploration implications, *Economic Geology* 102, 893-922.
- Hassanzadeh, J., 1993- Metallogenic and tectono-magnetic events in the SE sector of the Cenozoic active continental margin of Iran (Shahr-e-Babak area, Kerman province). Published Ph.D. thesis, University of California, Los Angeles, 204.
- Herrmann, W., Green, G. R., Mark, B. D. and Davidson, G., 2009- Lithogeochemical and Stable Isotopic Insights into Submarine Genesis of Pyrophyllite-Altered Facies at the Boco Prospect, Western Tasmania, *Economic Geology* 104: 775-792.

- Hovakimyan, S., Moritz, R., Tayan, R. and Harutyunyan, M., 2015- The World-Class Kadjaran Mo-Cu-Porphyry Deposit, Southern Armenia, Lesser Caucasus: Structural Controls, Mineral Paragenesis and Fluid Evolution, SGA meeting, 13th, Nancy, France, book, 1, 295-298.
- Jafari Rad, A. R. and Busch,W., 2011- Porphyry Copper Mineral Prospectively Mapping Using Interval Valued Fuzzy Sets Topsis Method in Central Iran. Journal of Geographic Information System 3: 312-317.
- Kerkhof, A. M. V. and Hein,U. F., 2001- Fluid inclusion petrography, Lithos. 55, 27-47.
- Kouzmanov, K. and Pokrovski, G. S., 2012- Hydrothermal controls on metal distribution in (Cu-Au-Mo) porphyry systems. Soc Econ Geol Spec Pub 16: 573-618.
- Lefebure, D. V. and Church, B. N., 1996- Polymetallic Veins Ag-Pb-Zn ± Au in Selected British Columbia Mineral Deposit Profiles, Volume 2 Open File. 13: 67-70.
- Li, Y. B. and Liu, J. M., 2006- Calculation of sulfur isotope fractionation in sulfides. Geochemical et Cosmochimica Acta, 70, 1789 – 1795.
- Mao, J., Zhang, I., Pirajno, F., Ishiyama, D., Su, H. G. C. and Chen, Y., 2011- Porphyry Cu–Au–Mo–epithermal Ag–Pb–Zn–distal hydrothermal Au deposits in the Dexing area, Jiangxi province, East China- A linked ore system. Ore Geology Reviews 43: 203–216.
- Moncada , D. and Bodnar, R. J., 2012- Gangue mineral textures and fluid inclusion characteristics of the Santa Margarita Vein in the Guanajuato Mining District, Mexico, Cent. Eur. J. Geosci, 4(2), 300-309.
- Padyar, F., Alirezeai, S., Rahgoshay, M., Tarantola, A., Vanderhaeghe, O. and Caumon, M. C., 2016- Evolution of the mineralizing fluids and possible genetic links between Miduk porphyry copper and Latala vein type deposits. ACROFI VI meeting, 6th, Bombay, India, book. P: 80-84.
- Padyar, F., Rahgoshay, M., Tarantola, A., Alirezeai, S. and Pourmoafi, M., 2015- Geology and Genesis of the Latala Base Metal Deposit North Miduk, Iran, SGA meeting, 13th, Nancy France, book. 2:509-511.
- Penniston-Dorland, S. C., 2001- Illumination of vein quartz textures in a porphyry copper ore deposit using scanned cathodoluminescence: Grasberg Igneous Complex, Irian Indonesia. Am. Mineral., 86: 666.
- Pirajno, F., 2009- Hydrothermal Processes and Mineral Systems, Springer, Geological Survey of Western Australia.1250 pp.
- Pokrovski, G., Borisova, A. Y. and Bychkov, A., 2013- Speciation and Transport of Metals and Metalloids in Geological Vapors, Mineralogy and Geochemistry 76:165-218.
- Pudack, C., Halter, W. E., Heinrich, C. A. and Pettke, T., 2010- Evolution of magmatic vapor to gold-rich epithermal liquid: The porphyry to epithermal transition at Famatina NW Argentina, Economic Geology, 104: 449-477.
- Roedder, E., 1992- Optical microscopy identification of the phases in fluid inclusions in minerals, Microscope 40:59-79.
- Sadeghi, M., Borg, G. and Gläber, C., 2008- Relationship between large-scale ring structures and lineaments with big porphyry copper deposits in Iran. Geosciences, 17:199-205.
- Sillitoe, R. H., 2010- Porphyry Copper Systems. Econ Geol. 105:3-41.
- Sirbescu, M. L. C. and Nabelek, P., 2003- Dawsonite: An inclusion mineral in quartz from the Tin Mountain pegmatite, Black Hills, South Dakota. American Mineralogist 88: 1055–1060.
- Tome, C. M. and Tornos, F., 2009- SEM-CL Analysis of Hydrothermal Quartz: Case Histories in Fe-Cu (Au) Deposits. resumen SEM 179-180.
- Wilkinson, J. J., 2001- Fluid inclusions in hydrothermal ore deposits Lithos 55:229–272.
- Williams, N. C. and Davidson, G. J., 2004- Possible submarine advanced argillic alteration at the Basin Lake prospect, western Tasmania, Australia, Economic Geology 99: 987–1002.

Cathodoluminescence, micro thermometry and laser raman spectroscopy studies on hydrothermal quartz in Latala deposit, Central Iran

F. Padyar^{1*}, M. Rahgoshay², S. Alirezaei³, M. Pourmoafi⁴, A. Tarantola⁵, O. Vanderhaeghe⁶ and M. C. Caumon⁷

¹Ph.D. Student, Faculty of Earth Sciences, Shahid Beheshti University, Tehran, Iran

²Professor, Faculty of Earth Sciences, Shahid Beheshti University, Tehran, Iran

³Associate Professor, Faculty of Earth Sciences, Shahid Beheshti University, Tehran, Iran

⁴Professor, Faculty of Earth Sciences, Shahid Beheshti University, Tehran, Iran

⁵Associate Professor, GeoRessources, University of Lorraine, Nancy, France

⁶Professor, Department of Geology, Toulouse University, Toulouse, France

⁷Professor, GeoRessources, University of Lorraine, Nancy, France

Received: 2015 September 05

Accepted: 2015 December 28

Abstract

The Latala base and precious metals deposit is hosted by quartz veins, associated with a porphyry pluton intruded into a Cenozoic volcanic sequence. Euhedral quartz with sulfide mineralization such as pyrite, chalcopyrite, galena and sphalerite, with minor sulfosalts occurs in these veins as open space fillings and minor replacement bodies. Progressive growth of quartz crystals is evidenced by their texture revealed by cathodoluminescence imaging. The analysis of fluid inclusions indicate a decreasing homogenization temperature from 350°C in the core to 135°C along the edge of the quartz crystals with overgrowths. The presence of CO₂ vapor suggested by the thermometric analysis is confirmed by Raman spectrometry. The solid phases in fluid inclusions identified as phyllosilicates, presumably muscovite and illite, chlorite, quartz and carbonate-mineral such as (Natrocarbonate, Dawsonite) by petrography and Raman spectrometry. Solid phase of halite were identified in two fluid inclusions. The homogenization temperature and salinity varies between 131 to 380 °C and 0.17 to 7.7 wt.% NaCl eq respectively. The properties of fluid inclusions corresponds to a magmatic hydrothermal fluid circulating from depth to shallower environments. The sulfur isotopic composition for galena, sphalerite, chalcopyrite and pyrite varies between -9.8 and -1‰, which correspond to values of magmatic sulfur. The δ³⁴S values from +1.8 to -9.2‰ are in the range of hydrothermal fluids. Fluid inclusions features show a magmatic hydrothermal source which transported magmatic fluid and vapor from the depth through fractures to shallow environment. It suggests that magmatic water mixing with meteoric water was responsible for transportation of metals in Latala. Epithermal mineral precipitation during boiling, mixing and water-rock interaction formed hydrothermal quartz and sulfide mineralization. The available evidence suggests that the hydrothermal fluids changed from magmatic to epithermal in the region.

Keywords: Hydrothermal quartz, Fluid inclusion, Latala, Cathodoluminescence, Microtermometry, Laser Raman Spectroscopy.

For Persian Version see pages 39 to 52

*Corresponding author: F. Padyar , E-mail: padyar@geologist.com